

การวิเคราะห์การไหลแบบนื้อชีลภายในกังหันพลังน้ำแบบไหลในแนวแกน ความดันหัวน้ำต่ำ

Analysis of Nozzle Flow inside Low Head Propeller Turbine

ทศพร สุนทรเกล้า¹ อุดมเกียรติ นนทแก้ว¹ และ ยอดชาย เตียงเป็น²

¹ศูนย์วิจัยวิศวกรรมคำนวนน้ำสูง ภาควิชาวิศวกรรมเครื่องกล และการบิน-อวกาศ

สถาบันเทคโนโลยีพระจอมเกล้าพระนครเหนือ เขตบางซื่อ กรุงเทพฯ 10800

โทร: 0-29132-5009 ต่อ 8320 โทรสาร: 02-5869-541 Email: tot_aero@yahoo.com

²ภาควิชาวิศวกรรมเครื่องกลเรือ มหาวิทยาลัยเกษตรศาสตร์ วิทยาเขตศรีราชา อ.ศรีราชา จ.ชลบุรี 20230

โทร: 0-3835-4850 โทรสาร: 0-385-4849 Email: yodchai_tp@yahoo.com

Tosaporn Soontornpasatch¹, Udomkiat Nontakaew¹, and Yodchai Tiaple²

¹Research Centre for Advanced Computational Engineering, Department of Mechanical and Aerospace Engineering,

King Mongkut's Institute of Technology North Bangkok, Bangsue, Bangkok 10800, Thailand

Tel: 0-29132-5009 ext. 8320 Fax: 02-5869-541 Email: tot_aero@yahoo.com

²Department of Naval Architecture and Marine Engineering, Faculty of Engineering,

Kasetsart University, Siracha campus, Siracha, Chonburi 20230, Thailand

Tel: 0-3835-4850 Fax: 0-385-4849 Email: yodchai_tp@yahoo.com

บทคัดย่อ

การออกแบบกังหันพลังน้ำหัวน้ำต่ำแบบไหลในแนวแกนให้มีประสิทธิภาพสูงได้นั้น ผู้ออกแบบจำเป็นต้องมีความรู้ความเข้าใจในความสมพันธ์ระหว่างรูปทรงของช่องทางการไหลและรูปแบบการไหลของน้ำเป็นอย่างดี การออกแบบช่องทางการไหลที่เหมาะสมจะทำให้การไหลเป็นไปอย่างมีเสถียรภาพและสามารถลดการสูญเสียพลังงาน การไหลได้ สำหรับกังหันพลังน้ำหัวน้ำต่ำแบบไหลในแนวแกนนั้น ช่องทางการไหลที่มีความสำคัญในการนับถือการไหลของน้ำโดยตรงคือไกด์เวนซึ่งสร้างการไหลแบบนื้อชีลเพื่อเพิ่มพลังงานจลน์ของน้ำ และบังคับให้มีพิกัดทางการไหลที่เหมาะสมกับมุ่งประสงค์ของใบพัด

ในโครงการวิจัยนี้จะเป็นการศึกษาความสัมพันธ์ของรูปทรงและมุมเอียงของไกด์เวนต่อเสถียรภาพในการไหลเข้าบ่าบะในกังหันและอัตราส่วนความเร็วในการไหลออกต่อความเร็วในการไหลเข้า การวิจัยจะใช้รูปทรงไกด์เวนจำนวนสี่ໂປร์ไฟล์ในการคำนวณ ใช้โปรแกรมคำนวนผลศาสตร์การไหลคำนวณความเร็วของของไหลในจุดต่างๆ บนผิวของไกด์เวน นำผลลัพธ์ที่ได้ไปทำการคำนวนการไหลในชั้นชิดผิว ด้วยระเบียบวิธีอินทิกรัล จากนั้นจึงคำนวณเสถียรภาพของ การไหล โดยคำนวนหาจุดการเปลี่ยนผ่านจากการไหลแบบรวมเรียนเป็นการไหลแบบบันบวนด้วยทฤษฎีเสถียรภาพ โดยทำการปรับเปลี่ยนมุม

เอียงของไกด์เวนเป็นจำนวนทั้งหมด คือ 10 12.5 15 17.5 และ 20 องศา

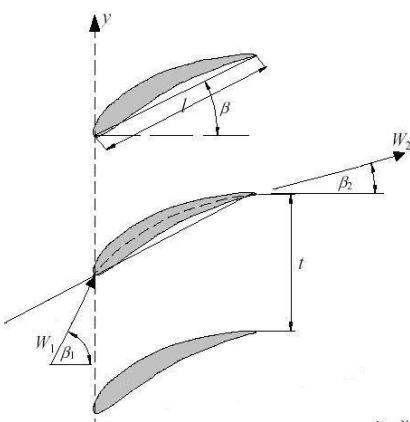
Abstract

An essential of the design of axial flow low head hydroturbine is the relationship between flow path and flow pattern. Since, the flow stability and low loss are the results of suitable flow path. Axial flow low head hydroturbine, in particular, guide vane which creates nozzle flow is important for turbine efficiency and water economy. Guide vane increases flow kinetic energy and controls incident angle of turbine blade.

The present study aims to find flow information of four different guide vane profiles for the improvement of turbine efficiency. Computational fluid dynamics program is used to calculate velocities distribution for five angles of stagger 0, 12.5, 15, 17.5 and 20 degree. Consequently, boundary layers are computed by integral method from the previous results. Finally, the instability point is identified using flow stability theory.

1. บทนำ

กังหันพลังน้ำแบบไอลในแนวแกนนั้นมีส่วนประกอบที่ใช้ในการบังคับทิศทางการไอลที่สำคัญอยู่สองส่วน คือ “ไกด์เวน (guide vane) และไบพัด (propeller) ซึ่งไกด์เวนจะมีหน้าสร้างให้เกิดการไอลแบบน้อชเชลและมีมุนปะทะที่เหมาะสมกับไบพัดเพื่อให้เกิดประสิทธิภาพสูงสุดในสภาวะการทำงานต่างๆ ดังนั้นการออกแบบรูปทรงของไกด์เวนที่มีความเหมาะสมนั้น เป็นองค์ประกอบที่สำคัญอย่างหนึ่งในการออกแบบกังหันพลังน้ำแบบไอลในแนวแกนให้มีประสิทธิภาพสูง ผู้ออกแบบจะต้องมีความรู้ความเข้าใจถึงผลกระทบของรูปทรงไกด์เวนต่อลักษณะการไอลเป็นอย่างดี เนื่องจากการไอลภายในกังหันพลังน้ำแบบไอลในแนวแกนนั้นเป็นการไอลที่มีความซับซ้อนสูง ดังนั้นในการวิเคราะห์ปัญหานั้นจะใช้วิธีการลดความซับซ้อนของปัญหาลงโดยการสร้างพื้นผิวการไอล (stream surface) ที่มีความสมมาตรกับแกนหมุนของไบพัดขึ้น ในส่วนที่พื้นผิวการไอลแต่ละอันตัดกับไกด์เวนนั้นจะพบว่าสามารถนำพื้นที่หน้าตัดของไกด์เวนในแต่ละใบมาเรียงกันในแนวเส้นตรงและจากที่ทำการวิเคราะห์ที่การไอลบนพื้นผิวการไอลที่ผ่านพื้นที่หน้าตัดของไกด์เวนได้แบบสองมิติ วิธีการดังกล่าวเรียกว่า cascade [9] ซึ่งแสดงดังรูปที่ 1



รูปที่ 1 แสดงการเรียงตัวของ cascade

จากรูปที่ 1 β คือมุนเอียง (angle of stagger) มีค่าเป็นมาเมื่อวัดเทียบกับแกน x ตามเข็มนาฬิกา, β_1 และ W_1 คือมุนและความเร็วของไอลเข้า, β_2 และ W_2 คือมุนและความเร็วของการไอลออก, / คือความยาวคอร์ด, t คือ ระยะช่องระหว่างระหว่างใบ (pitch)

การวิเคราะห์การไอลผ่าน cascade นั้นได้มีการทำกันอย่างแพร่หลาย Gergely และ Janous [1] ทำการเปรียบเทียบผลการทดลองกับการคำนวนด้วยระเบียนวิธีเชิงตัวเลขของ cascade แบบในบิด Lohrberg และคณะ [2] ได้ทำการวิเคราะห์การเกิดฟองอากาศเนื่องจากการไอลผ่าน cascade ด้วยระเบียนวิธีเชิงตัวเลขและทำการเทียบผลกับการทดลอง Schlichting และ Scholz [3] ได้แสดงวิธีการคำนวนการเกิดการสูญเสียพลังงานในการไอลผ่าน cascade แบบสองมิติ โดยทำการเปลี่ยนมุนการไอลเข้าที่มุนต่างๆ Gostelow [4] ได้ทำการคำนวนผลของการกระจายความดันบนผิวของ cusped blade

cascade ด้วยวิธีการประมาณค่าและทำการเปรียบเทียบผลการทดลองกับผลเดลย์แม่นตรง

ในโครงการวิจัยขึ้นนี้จะเป็นการศึกษาความสัมพันธ์ของรูปทรงและมุนเอียงของไกด์เวน ต่อเสถียรภาพของการไอลบนผิวของไกด์เวน และอัตราส่วนความเร็วในการไอลออกต่อความเร็วในการไอลเข้าโดยใช้รูปทรงไกด์เวนที่มีเส้นแคบเบอร์แบบพาราโบลา (Parabolic-arc camber) มีจุดสูงสุดของแคบเบอร์ (Maximum camber) ที่ 0.3 0.4 0.6 และ 0.7 ของความยาวคอร์ด และมีการกระจายตัวของผิวโดยแบ่งรูปทรงแพนออกาส เบอร์ NACA 0012 เรียงกันในแบบ Linear Cascade มีระยะห่างกันในแนวตั้ง (space-chord ratio) เท่ากับหนึ่ง หน่วยความยาวเส้นคอร์ดการคำนวนความเร็วของไอลในจุดต่าง ๆ บนผิวไกด์เวนด้วยโปรแกรมการคำนวนพลศาสตร์การไอลแบบวิธีพานิล (Panel Method) ซึ่งทำการเขียนด้วยโปรแกรม MATLAB 6.0 โดยกำหนดมุนการไอลเข้าเป็นศูนย์องศา ทำการปรับเปลี่ยnmุนเอียงของไกด์เวนเป็นจำนวนท้ามุน คือ 10 12.5 15 17.5 และ 20 องศา ตามลำดับ ทำการคำนวนอัตราส่วนความเร็วในการไอลออกต่อความเร็วในการไอลเข้าและทำการคำนวนการไอลในชั้นชิดผิวตัวยับเบี้ยนวิธีอินทิกัล นำผลที่ได้มาทำการคำนวนเสถียรภาพของการไอล โดยคำนวนหาจุดไร้เสถียรภาพ (instability point) ตามทฤษฎีเสถียรภาพในการไอล

ผลของงานวิจัยขึ้นนี้จะนำไปเป็นข้อมูลในการออกแบบรูปทรงของไกด์เวนให้มีความเหมาะสม เพื่อนำไปใช้ในการพัฒนาและปรับปรุงสมรรถนะและประสิทธิภาพกังหันพลังน้ำไอลในแนวแกนแบบหัวน้ำต่ำให้สูงขึ้นต่อไป

2. ทฤษฎี

2.1 การคำนวนด้วยวิธีพานิล

การไอลแบบไม่มีความหนืด (inviscid flow) แบบไม่อัดตัว (incompressible flow) โดยการไอลไม่มีการไอลหมุน (irrotational flow) ตลอดทั้งสนามการไอล ยกเว้นบนพื้นที่ที่สร้างแรงยกและผิวเวกสามารถเขียนสมการควบคุมในรูปแบบของสมการลาปลาส (Laplace's equation)

$$\nabla^2 \phi = 0 \quad (1)$$

โดย ϕ คือ ศักยภาพความเร็วบนภูมิ (Perturbation velocity potential) ในการวิเคราะห์การไอลผ่านวัตถุที่มีแรงยกนั้น สามารถทำการคำนวนได้โดยการแบ่งพื้นผิวของวัตถุออกเป็นส่วนเล็กๆ เรียกว่า “พานิล” (panel) และมีการกระจายตัวของจุดหมุน (vortex singularity) ในแต่ละพานิล มีความเข้มคงที่ ความเร็วของการไอล ณ จุดต่างๆ ซึ่งถูกเหนี่ยวนำ (induce) โดยจุดหมุนนั้นคือ

$$dV = -\frac{\gamma ds}{2\pi r} \quad (2)$$

โดย V คือความเร็วของการไอล ณ จุดใดๆ, γ คือ ความเข้มของจุดหมุนนั้นต่อหน่วยความยาว, r คือระยะห่างระหว่างจุดหมุนและจุดใดๆ ในการไอลในกรณีของไกด์เวนที่เรียงตัวในแบบ cascade ที่มีความ

ห่างของแต่ละใบเท่าๆ กันนั้น ความเร็วของการไหลบนผิวของไกด์เวนที่จุดใดๆ สามารถเขียนได้เป็น

$$W_s = u_\infty \cos \beta_m + v_\infty \sin \beta_m + \frac{1}{2t} \int \gamma(\xi, \eta) k(\xi, \eta) ds(\xi, \eta) \quad (3)$$

โดย

$$k(\xi, \eta) = \frac{\sinh(\frac{2\pi}{t}(x - \xi)) \sin \beta_m - \sin(\frac{2\pi}{t}(y - \eta)) \cos \beta_m}{\cosh(\frac{2\pi}{t}(x - \xi)) - \cos(\frac{2\pi}{t}(y - \eta))} \quad (4)$$

เมื่อ ξ และ η คือตำแหน่งของจุดหมุนวนบนผิวของไกด์เวน, β_m คือมุมเอียงของแต่ละพาแนล, u_∞ และ v_∞ คือความเร็วของการไหลเข้าในแกน x และแกน y , W_s คือ ความเร็วของการไหลบนผิวของไกด์เวนที่จุดใดๆ จากเงื่อนไขที่ความเร็วนั้นพื้นผิวด้านในของไกด์เวนมีค่าเป็นศูนย์ และ การใช้เงื่อนไขของ Kutta-Joukowski ที่กำหนดให้ความเข้มของจุดหมุนวนที่ขึ้นท้ายด้านท้ายของไกด์เวนที่พื้นผิวด้านบนและด้านล่าง มีค่าความเข้มเท่ากันแต่มีทิศทางตรงข้ามกัน ซึ่งจะได้

$$\gamma(U_{TE}) = -\gamma(LTE) \quad (5)$$

โดย $\gamma(U_{TE})$ และ $\gamma(LTE)$ คือ ความเข้มของจุดหมุนวนที่ขึ้นท้ายของไกด์เวนที่พื้นผิวด้านบนและด้านล่าง จากเงื่อนไขทั้งหมดทำให้สามารถแก้สมการที่ (3) เพื่อหาค่าความเข้มของจุดหมุนวนและด้านล่าง ค่าความเข้มที่ได้

2.2 การคำนวณการไหลในชั้นชิดผิว

ในการคำนวณการไหลในชั้นชิดผิวนั้นจะให้วิธีการประมาณค่าของ Karman และ Pohlhausen [6] สำหรับการไหลในสองมิติมาทำการคำนวณ โดยทำการแก้สมการโมเมนตัมสำหรับการไหลในชั้นชิดผิว

$$U^2 \frac{d\delta_2}{dx} + (2\delta_2 + \delta_1) U \frac{dU}{dx} = \frac{\tau_0}{\rho} \quad (6)$$

โดยมี δ_1 คือ ความหนาแทนที่ (displacement thickness), δ_2 คือ ความหนาโน้มเมณตัม (momentum thickness), U คือความเร็วของของไหล เมื่อยังไม่พิจารณาความหนืด, τ_0 คือความเค้นเฉือนของของไหลที่ผิว, ρ ความหนาแน่นของของไหล ในกรณีที่การแก้สมการจะทำการสมมติว่า รูปแบบของความเร็วในชั้นชิดผิวเป็นแบบการกำลังสี่

$$\frac{u}{U} = f(\eta) = a\eta + b\eta^2 + c\eta^3 + d\eta^4 \quad (7)$$

โดย $\eta = y/\delta(x)$ และ $\delta(x)$ คือ ความหนาของชั้นชิดผิว กำหนดด้วยรูปแบบ Λ และตัวแปรรูปร่าง K (Shape factor)

$$\Lambda = \frac{\delta^2}{v} \frac{dU}{dx} \quad (8)$$

$$K = \frac{\delta_2}{v} \frac{dU}{dx} \quad (9)$$

โดย V คือความหนีดจลนศาสตร์

จากสมการที่ (6) เราสามารถดูรูปสมการได้เป็น

$$\frac{dZ}{dx} = \frac{F(K)}{U} \quad (10)$$

โดย $Z = \delta_2/v$

ค่าของ $F(K)$ เราจะใช้จากการประมาณค่า Walz [6] ซึ่งจะอยู่ในรูปของสมการ

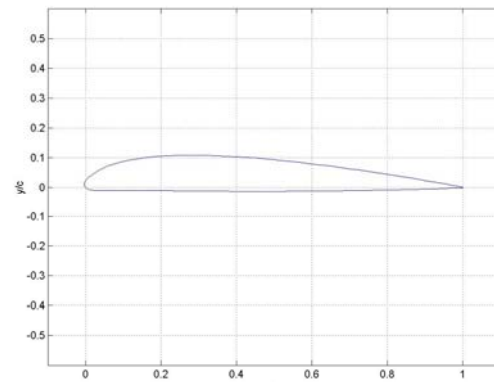
$$F(K) = 0.470 - 6K \quad (11)$$

จากสมการที่ (10) และ (11) ทำให้เราสามารถแก้สมการหาค่า $Z(x)$ ด้วยวิธีอินทิกรัลได้ จากนั้นจึงทำการคำนวณหาค่า K โดยใช้ความสัมพันธ์

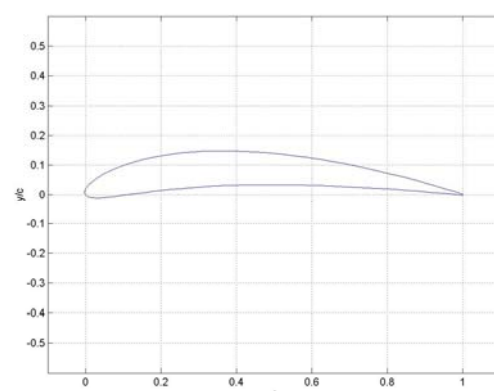
$$K = Z \frac{dU}{dx} \quad (10)$$

นำค่า K ที่ได้มาหาความหนาโน้มเมณตัม ค่าความหนาของชั้นชิดผิวและค่า Λ จากนั้นจึงทำการคำนวณค่าเรย์โนลีโนเรียล (local Reynolds number) และ ค่าเรย์โนลิกฤติ (critical Reynolds number) ซึ่งทำให้เราสามารถทราบจุดเริ่มต้นของ 불คงที่ (Instability point) ในการไหลได้

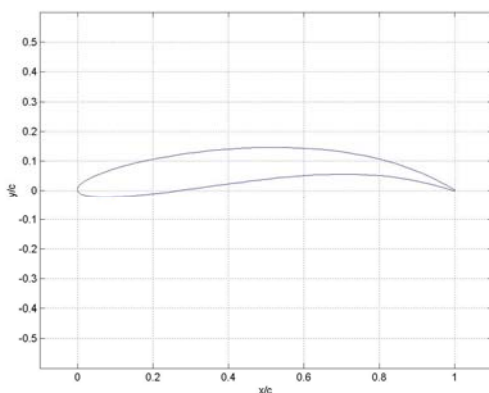
สำหรับรูปแบบโปรไฟล์ของไกด์เวนที่ใช้ในการวิเคราะห์จะเป็นแบบเส้นแคมเบอร์พาราโบลา มีจุดสูงสุดของเส้นแคมเบอร์ที่ ต่ำแห่งน 0.3 0.4 0.6 และ 0.7 ของความยาวคอร์ต มีการกระจายตัวของผิวโค้งแบบรูปทรงแพนอากาศ เบอร์ NACA 0012 แสดงดังรูปที่ 2 ถึง 5



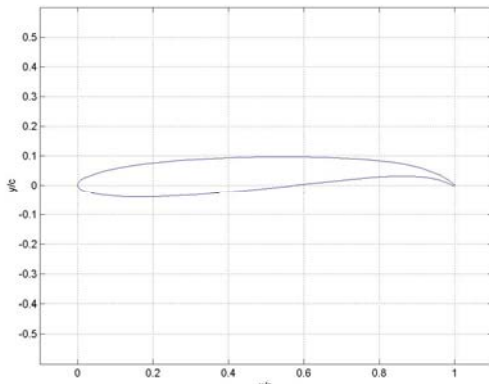
รูปที่ 2 โปรไฟล์แคมเบอร์ 0.3



รูปที่ 3 โปรไฟล์แคมเบอร์ 0.4



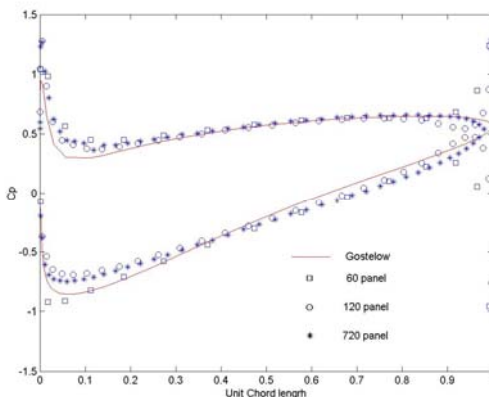
รูปที่ 4 โปรไฟล์แคมเบอร์ 0.6



รูปที่ 5 โปรไฟล์แคมเบอร์ 0.7

3. ผลการเปรียบเทียบการคำนวณกับผลการทดสอบ

เพื่อเป็นการยืนยันความถูกต้องของโปรแกรมที่ทำการพัฒนาขึ้น จึงได้ทำการทดสอบความถูกต้องของโปรแกรม กับการคำนวณของ Gostelow [4] โดยใช้วรุ่งของ cusped blade ผลการคำนวณ สัมประสิทธิ์ความดันบนพื้นผิวของ cusped blade แสดงดังรูปที่ 6



รูปที่ 6 แสดงผลการคำนวณเทียบกับงานของ Gostelow

จากการทดสอบโปรแกรมพบว่าค่าสัมประสิทธิ์ความดัน ในช่วง 0 ถึง 0.8 ของความยาวคอร์ดนั้นมีค่าใกล้เคียงกับการคำนวณของ Gostelow ในช่วง 0.8 ถึง 1 ของความยาวคอร์ดนั้น ที่จำนวนพาแนล 60 และ 120 จะพบว่าค่าสัมประสิทธิ์ความดันมีการแกว่งค่อนข้างมาก โดยแบบ 60 พาแนลจะมีการแกว่งตัวของค่ามากกว่าแบบ 120 พาแนล แต่ในกรณีที่ทำการแบ่งเป็น 720 พาแนลจะพบว่าค่า สัมประสิทธิ์ความดันไม่มีการแกว่งตัว ทั้งนี้เนื่องมาจากการแบ่ง พาแนลที่น้อยเกินไปจะทำให้ตำแหน่งของพาแนลที่กำหนดเดื่องไปตาม สมการที่ (5) เกิดความคลาดเคลื่อนทำให้เกิดการแกว่งของค่าบริเวณ ปลายด้านหลังของ cusped blade

4. ผลการคำนวณ

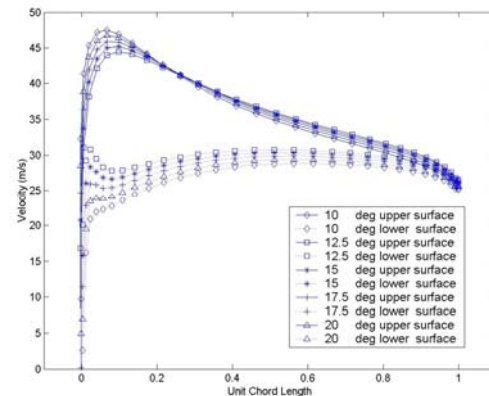
อัตราส่วนความเร็วในการ流れออกต่อความเร็วในการ流れเข้า แสดงดังตารางที่ 1

ตารางที่ 1 แสดงอัตราส่วนความเร็วในการไหลออกต่อความเร็วในการ ไหลเข้า

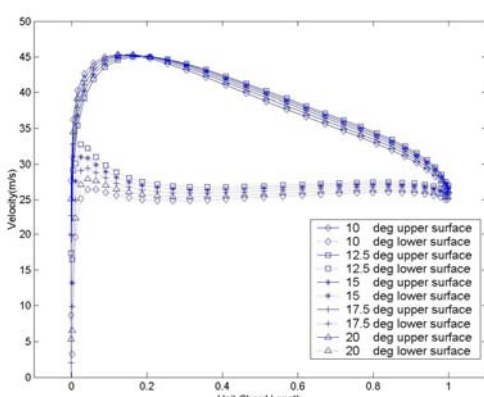
มุมเอียง ไกด์เวน (องศา)	โปรไฟล์ แคมเบอร์ 0.3	โปรไฟล์ แคมเบอร์ 0.4	โปรไฟล์ แคมเบอร์ 0.6	โปรไฟล์ แคมเบอร์ 0.7
-10	1.032	1.069	1.124	1.102
-12.5	1.044	1.088	1.150	1.124
-15	1.058	1.108	1.179	1.149
-17.5	1.074	1.132	1.211	1.176
-20	1.093	1.158	1.245	1.205

จากตารางที่ 1 จะเห็นได้ว่าทุกโปรไฟล์นั้นสามารถทำให้เกิดการ ไหลแบบน้อชเชลล์ได้ โดยแบบโปรไฟล์แคมเบอร์ 0.6 นั้นจะมีอัตราส่วน ความเร็วในการไหลออกต่อความเร็วในการไหลเข้ามากที่สุดรองลงมา คือ แบบแคมเบอร์ 0.7, แคมเบอร์ 0.4 และแคมเบอร์ 0.3 ตามลำดับ

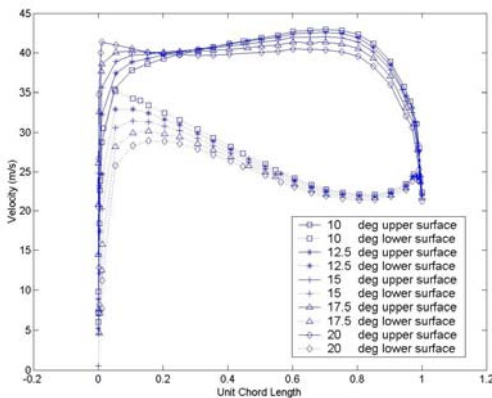
การกระจายตัวของความเร็วบนผิวของ ไกด์เวนนั้นเป็นไปตามรูป ที่ 7 ถึง 10



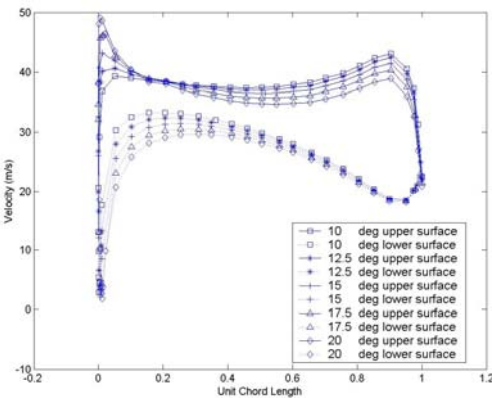
รูปที่ 7 แสดงผลการกระจายความเร็วบนผิวของไกด์เวนที่มีจุดสูงสุด แคมเบอร์ 0.3 ของความยาวคอร์ด



รูปที่ 8 แสดงผลการกระจายความเร็วบนผิวของไก๊เดนท์ที่มีจุดสูงสุด แคมเบอร์ 0.4 ของความยาวคอร์ด



รูปที่ 9 แสดงผลการกระจายความเร็วบนผิวของไก๊เดนท์ที่มีจุดสูงสุด แคมเบอร์ 0.6 ของความยาวคอร์ด

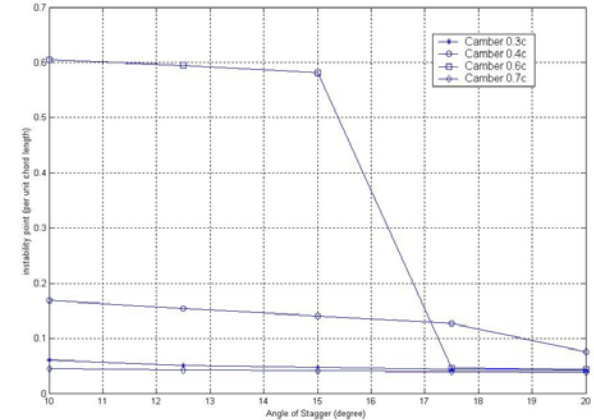


รูปที่ 10 แสดงผลการกระจายความเร็วบนผิวของไก๊เดนท์ที่มีจุดสูงสุด แคมเบอร์ 0.7 ของความยาวคอร์ด

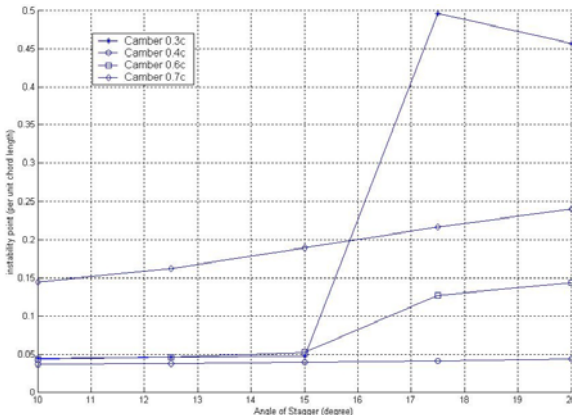
จากการคำนวณพบว่า ไก๊เดนท์ที่มีแคมเบอร์ 0.3 ของความยาวคอร์ดนั้น ที่ผิวด้านบนความเร็วจะค่อยๆเพิ่มขึ้นจนถึงจุดที่มีความเร็ว

สูงสุดอยู่ที่ตำแหน่ง 0.1 จากนั้นความเร็วจะค่อยๆลดลง ในส่วนของผิวด้านล่างนั้นที่มุ่งอ่อน 10 องศาจะเกิดจุดความเร็วสูงสุดที่ช่วง 0.03 ถึง 0.05 ความเร็วจะค่อยๆลดลงและกลับมีค่ามากขึ้นอีกครั้งที่ตำแหน่ง 0.5 เมื่อปรับมุมอ่อนเป็น 12.5 และ 15 องศาตามลำดับ จะพบว่าการกระจายตัวของความเร็วนั้นผิดจากไก๊เดนท์ที่มุ่งอ่อน 10 องศา ค่าความเร็วสูงสุดจะมีค่าค่อยๆลดลง แต่ไม่เกิดการเปลี่ยนตำแหน่งบนความยาวคอร์ดมากนัก ที่มุ่งอ่อน 17.5 และ 20 องศา จะไม่เกิดจุดสูงสุดของความเร็วที่ด้านหน้าความยาวคอร์ด ความเร็วจะค่อยเพิ่มขึ้นจนมีค่าสูงสุดอยู่ในช่วง 0.6 ถึง 0.65 แทน ในส่วนของไก๊เดนท์ที่มีจุดสูงสุดแคมเบอร์ที่ 0.4 ของความยาวคอร์ดนั้น การกระจายตัวของความเร็วนั้นผิดจากไก๊เดนท์ที่มีจุดสูงสุดแคมเบอร์ที่ 0.3 แต่ดูที่มีความเร็วสูงสุดนั้นจะอยู่ในช่วง 0.15 ถึง 0.3 และอัตราการเปลี่ยนแปลงความเร็วมีค่าน้อยกว่าไก๊เดนท์ที่มีจุดสูงสุดแคมเบอร์ที่ 0.3 สำหรับที่ผิวด้านล่างนั้นจะพบว่า จะเกิดจุดสูงสุดของความเร็วอยู่ในช่วง 0.05 ถึง 0.1 หลังจากที่เกิดความเร็วสูงสุดอัตราการเปลี่ยนแปลงความเร็วจะมีค่าเพียงเล็กน้อยเท่านั้น

สำหรับไก๊เดนท์ที่มีจุดสูงสุดของแคมเบอร์ที่ 0.6 ของความยาวคอร์ดนั้น การกระจายตัวของความเร็วจะมีความแตกต่างจากสองแบบแรกอย่างเห็นได้ชัด บนผิวด้านบนที่มุ่งอ่อน 10 ถึง 17.5 องศา จะไม่เกิดจุดที่มีความเร็วสูงสุดด้านหน้า แต่จะมีอยู่ในช่วง 0.7 ถึง 0.8 แทนยกเว้นในกรณีที่มุ่งอ่อน 20 องศา นั้นจะเกิดจุดที่มีความเร็วสูงสุดอยู่ที่ด้านหน้า ความเร็วจะค่อยลดลงเพียงเล็กน้อย และค่อยเพิ่มขึ้นจนมีค่าสูงสุดอยู่ที่ช่วง 0.7 ที่ผิวด้านล่างของไก๊เดนท์จะเกิดจุดที่มีความเร็วสูงสุดอยู่ในช่วง 0.05 ถึง 0.1 หลังจากจุดดังกล่าวความเร็วจะค่อยลดลงจนถึงที่ด้านหน้า 0.8 ของความยาวคอร์ดความเร็วจะค่อยเพิ่มขึ้นอีกครั้งสำหรับไก๊เดนท์ที่มีจุดสูงสุดของแคมเบอร์ที่ 0.7 นั้น การกระจายตัวของความเร็วนั้นผิวด้านบนและด้านล่าง จะมีลักษณะใกล้เคียงกับไก๊เดนท์ที่มีจุดสูงสุดของแคมเบอร์ที่ 0.6 ยกเว้นที่ผิวด้านบนนั้น จะเกิดจุดที่มีความเร็วสูงสุดอยู่ด้านหน้าในทุกๆค่าของมุมปะทะสำหรับการคำนวณจุดไร้เสียงภายในกราฟในรูปที่ 11 และ 12



รูปที่ 11 แสดงความสัมพันธ์ระหว่างมุมอ่อนกับตำแหน่งจุดไร้เสียงภายในกราฟของผิวไก๊เดนท์ด้านบน



รูปที่ 12 แสดงความสัมพันธ์ระหว่างมุมเอียงกับตำแหน่งจุดไร้เสถียรภาพในการไหลของผิวไกด์เวนด้านล่าง

จากการคำนวณเพื่อหาจุดไร้เสถียรภาพในการไหลนั้นพบว่า ไกด์เวนทุกแบบนั้นมีจุดที่ไม่สามารถนำไปในทิศทางเดียวกัน นั่นคือ ที่ผิวด้านบนนั้น ระบายทางจากจุดการไหลหยุดนิ่ง (stagnation point) ด้านหน้าจะถูกจุดไร้เสถียรภาพจะมีค่าต่ำอยู่จุดด่องเมื่อมุมเอียงมีค่ามากขึ้น ยกเว้นในกรณีของไกด์เวนที่มีจุดสูงสุดของแคมเบอร์ที่ 0.6 ของความยาวคอร์ด นั้นจะมีการเปลี่ยนแปลงอย่างรวดเร็วเมื่อมุมเอียงมีค่ามากกว่า 15 องศาทั้งนี้ น่องจากที่มุมเอียง 10 ถึง 15 องศานั้น จุดที่การไหลมีความเร็วสูงสุดจะอยู่ด้านหลังกึ่งกลางของความยาวคอร์ดแทน การเปลี่ยนแปลงดังกล่าวจะทำให้จุดไร้เสถียรภาพในการไหลเกิดการเปลี่ยนแปลงอย่างรวดเร็ว สำหรับในผิวด้านล่างนั้น แนวโน้มจะแตกต่างไปจากผิวด้านบน เมื่อมุมเอียงมากขึ้น ระบายทางจากจุดการไหลหยุดนิ่งด้านหน้าจะถูกจุดไร้เสถียรภาพจะค่อยๆ มีค่ามากขึ้น ในกรณีของไกด์เวนที่มีจุดสูงสุดของแคมเบอร์ที่ 0.3 ของความยาวคอร์ดนั้นจะแตกต่างจากการนี้อีกน้อย ที่มุมเอียงมากกว่า 15 องศาแล้วการเปลี่ยนแปลงจะระบายทางของจุดไร้เสถียรภาพในการไหลนั้นจะมีการเปลี่ยนแปลงอย่างรวดเร็วและมีค่าลดลงเล็กน้อยเมื่อมุมเอียงมีค่ามากกว่า 17.5 องศา ซึ่งเป็นผลจากเปลี่ยนแปลงจุดที่การไหลมีความเร็วสูงสุดอย่างรวดเร็วซึ่งเดียวกับในกรณีของผิวด้านบนของไกด์เวนที่มีจุดสูงสุดของแคมเบอร์ที่ 0.6

5. สรุป

ไกด์เวนที่มีเส้นแคมเบอร์แบบพาราโบลา มีจุดสูงสุดของแคมเบอร์ที่ 0.3 0.4 0.6 และ 0.7 ของความยาวเส้นคอร์ด และมีการกระจายตัวของผิวโลหะแบบรูปทรงแพนอาภาต เบอร์ NACA 0012 นั้นสามารถสร้างการไหลแบบนื้อซอชีลได้เป็นอย่างดี ทุกแบบมีอัตราส่วนความเร็วในการไหลออกต่อความเร็วในการไหลเข้ามากกว่าหนึ่ง และมีค่าดังกล่าวเพิ่มขึ้นตามการเอียงของไกด์เวน สำหรับเสถียรภาพในการไหลของไกด์เวนนั้น ที่ผิวด้านบนจะมีเสถียรภาพลดลงตามการเอียงของใบ เนื่องจากตำแหน่งของจุดไร้เสถียรภาพในการไหลนั้น เคลื่อนที่เข้าหากันจุดที่เป็นจุดหยุดนิ่งด้านหน้ามากขึ้น แต่ในทางกลับกันที่ผิวด้านล่างนั้นจะมีเสถียรภาพมากขึ้นตามการเอียงของไกด์เวน ซึ่งแสดงให้เห็นว่าเสถียรภาพการไหลที่ผิวด้านบนนั้น มีความสำคัญมากกว่าด้านล่างนี้ของจากเป็นด้านที่มีโอกาสเกิดการไหลแบบบែងปวนมากกว่า ดังนั้นการออกแบบไกด์เวนที่มีความเหมาะสมที่สุดในการใช้งานควรออกแบบให้มีจุดสูงสุดของแคมเบอร์อยู่ในช่วง 0.4 ของความยาวคอร์ด เนื่องจากที่ผิวด้านบน ไม่มีการเปลี่ยนตำแหน่งของจุดไร้เสถียรภาพอย่างรวดเร็วในทุกๆ มุมเอียง และมีระยะห่างของจุดไร้เสถียรภาพกับจุดการไหลหยุดนิ่งด้านหน้ามากกว่าแบบแคมเบอร์ 0.3 และ 0.7

ด้านล่างการไหลจะมีเสถียรภาพมากขึ้นตามการเอียงของไกด์เวน ซึ่งแสดงให้เห็นว่าเสถียรภาพการไหลที่ผิวด้านบนนั้น มีความสำคัญมากกว่าด้านล่างนี้ของจากเป็นด้านที่มีโอกาสเกิดการไหลแบบบែងปวนมากกว่า ดังนั้นการออกแบบไกด์เวนที่มีความเหมาะสมที่สุดในการใช้งานควรออกแบบให้มีจุดสูงสุดของแคมเบอร์อยู่ในช่วง 0.4 ของความยาวคอร์ด เนื่องจากที่ผิวด้านบน ไม่มีการเปลี่ยนตำแหน่งของจุดไร้เสถียรภาพอย่างรวดเร็วในทุกๆ มุมเอียง และมีระยะห่างของจุดไร้เสถียรภาพกับจุดการไหลหยุดนิ่งด้านหน้ามากกว่าแบบแคมเบอร์ 0.3 และ 0.7

กิตติกรรมประกาศ

ขอขอบคุณสำนักงานกองทุนสนับสนุนการวิจัย (สกอ.) ที่ให้การสนับสนุนงบประมาณในการวิจัย

เอกสารอ้างอิง

- [1] Gergely, R., Janos, V., 2005. Validate of computational Fluid Dynamics Method to be applied to linear cascade of twisted-swept blades. Periodica Polytechnica SER. MECH. ENG., VOL. 49, NO. 2, pp. 163-180.
- [2] Lohrberg, H., Stoffel, B., Fortes, R., Rebound, J.L, 2001. Numerical and Experiment investigations on the cavitation flow in a cascade of hydrofoil. CAV2001:Session B1003.
- [3] Schlichting, H., Scholz, N., 1951. Über die theoretische Berechnung der Stromungsverluste eines sogenannten schottelgitters. Ing-Arch 19,pp. 42-65.
- [4] Gostelow, J.P, 1964. Potential flow through cascade: a comparison Between exact and approximate solution. ARC CP807.
- [5] Arnold, M.K, Chuen, Y.C, 1986. Foundation of Aerodynamics : Base on aerodynamics design 4th edition. John Wiley&sons Inc.
- [6] Schlichting, H., 1979. Boundary layer theory 7th edition. McGraw Hill Company.
- [7] Gostelow, J.P, 1984. Cascade Aerodynamics. Pergamon Press Ltd.
- [8] Abbott, I.H, Doenhoff , A.E, 1958.Theory of Wing Sections. Dover Publications Inc.
- [9] Cengel ,Y., CIMBALA, J., 2006. Fluid Mechanics: Fundamentals and Applications. McGraw-Hill Companies.